
1. Plenum zur Quantenmechanik I

Wintersemester 2013/2014

PLENUM: Mittwoch, 17.10.2018.

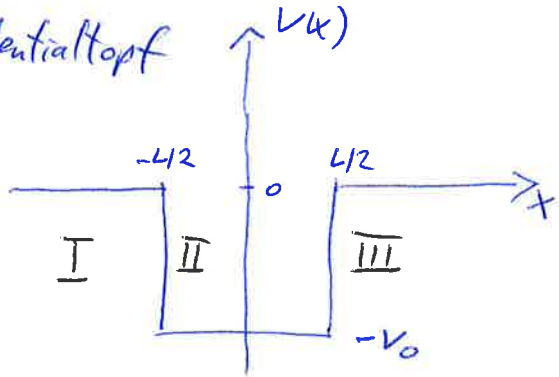
1. Endliches Kastenpotential in einer Dimension

Wir betrachten das folgende eindimensionale Potential ($V_0 > 0$)

$$V(x) = \begin{cases} 0 & |x| \geq L/2 \\ -V_0 & |x| < L/2 \end{cases} \quad (1)$$

- a) Geben Sie Ansätze für die Wellenfunktionen $\psi_i(x)$ ($i = \text{I, II, III}$) an, welche die Schrödinger-Gleichung in den drei Teilebereichen (I: $x < -L/2$, II: $-L/2 \leq x \leq L/2$, III: $x > L/2$) lösen.
- b) Das System hat *a priori* drei Energierégime: (i) $E < -V_0$, (ii) $-V_0 < E < 0$, (iii) $E > 0$. Existiert in allen Fällen eine Lösung? Charakterisieren Sie mögliche Lösungen gemäß des Abklingverhaltens bei großen Distanzen der Ansätze aus (a): Für welche Fälle gibt es gebundene Zustände?
- c) Die Lösung eines Problems kann oft vereinfacht werden, indem man sich Symmetrieeigenschaften zu Nutze macht. Das Potential (1) ist symmetrisch: $V(x) = V(-x)$. Zeigen Sie, dass in solch einem Fall (nicht entartete) Eigenzustände $\psi(x)$ entweder symmetrisch oder anti-symmetrisch sind.
- d) Stellen Sie nun die Randbedingungen für die globale Lösung des Problems auf. Leiten Sie aus den entstehenden linearen Gleichungssystemen für symmetrische und anti-symmetrische Zustände Bedingungen für die Energieeigenwerte her. Mit den Abkürzungen $k = \sqrt{-2mE}/\hbar$, $\kappa = \sqrt{2m(V_0 + E)}/\hbar$, sowie $k_0^2 = k^2 + \kappa^2$ ergeben sich z.B. für symmetrische Lösungen die Bedingungen: $k = k_0 |\cos(kL/2)|$ mit $\tan(kL/2) > 0$.
- e) Lösen Sie diese Bedingungsgleichungen graphisch und diskutieren Sie das Ergebnis. Ist der Grundzustand symmetrisch oder anti-symmetrisch? Gibt es immer beide Arten von Lösungen?

$$V(x) = \begin{cases} 0 & |x| \geq \frac{L}{2} \\ -V_0 & |x| < \frac{L}{2} \end{cases}$$



a) Ansätze für die Wellenfunktionen

$$\text{I: } V(x) = 0 \rightarrow H \psi(x) = E \psi(x)$$

$$(=) -\frac{\hbar^2}{2m} \frac{d^2}{dx^2} \psi(x) = E \psi(x)$$

$$\psi_I(x) = A_I e^{i k x} + B_I e^{-i k x}$$

$$\text{III: } V(x) = -V_0 \rightarrow -\frac{\hbar^2}{2m} \frac{d^2}{dx^2} \psi(x) = (E + V_0) \psi(x)$$

$$\psi_{\text{III}}(x) = A_{\text{III}} e^{i k x} + B_{\text{III}} e^{-i k x}$$

$$\psi_{\text{II}}(x) = A_{\text{II}} e^{i k x} + B_{\text{II}} e^{-i k x}$$

$$k = \sqrt{-\frac{2m(E+V_0)}{\hbar^2}} \in \mathbb{C}$$

bisher willkürliche Wahl, wir hätten auch $k = \sqrt{-\frac{2m(E+V_0)}{\hbar^2}}$ definieren können

b) Mögliche Energierégime

(i) $E < -V_0$

Klassisch klarweise nicht erlaubt, da $E < (\text{kinetische} + \text{potentielle Energie})$ nicht möglich? Annahme $E < -V_0 \leq V(x)$ mit Lösung $\psi(x)$:

$$-\frac{\hbar^2}{2m} \psi''(x) = (E - V(x)) \psi(x)$$

$$\sim \int dx \left(-\frac{\hbar^2}{2m} \psi'^*(x) \psi''(x) \right) = \int dx \underbrace{(E - V(x))}_{< 0} \underbrace{|\psi(x)|^2}_{> 0} < 0 \quad \stackrel{=}{\equiv}$$

↓ partielle Integration

$$\left(+\frac{\hbar^2}{2m} \right) \underbrace{\int dx |\psi'(x)|^2}_{> 0} \stackrel{=}{\equiv} \downarrow$$

\rightarrow auch quanten-mechanisch nicht möglich.

Anmerkung: Wir haben hier $\psi'^*(x) \psi'(x) \stackrel{=}{\Rightarrow} 0$ verwendet. ~~-> Klassisch~~

Es gibt exotische Fälle, nach unten unbeschränkte Potentiale, für die dies nicht gilt. Unser Potential ist beschränkt  dann ist auch $E - V(x) \leq 0$ nicht garantierbar

(ii) $-V_0 < E < 0 \rightarrow \psi_1, \psi_2 \in \mathbb{R}$, in der Tat $\psi_1 > 0, \psi_2 > 0$

Quadratintegrabilität von ψ_I, ψ_{II} erfordert: $B_I = A_{III} = 0$

Damit wird das globale ψ um den Potentialtopf hierum "lokalisiert" sein.

\rightarrow gebundener Zustand.

$\boxed{\begin{array}{l} \psi \text{ verdeckbar} \\ \text{Koeffizienten} \end{array}}$

(iii) $E > 0 \rightarrow R = i|k| : \psi_I, \psi_{III} \text{ fallen für } x \rightarrow \pm \infty \text{ nicht ab.}$
 \rightarrow Stoßzustand (kein gebundener Zustand)

- c): "Theoreme" 1) gebundene Zustände von eindimensionalen Potentiale* sind nicht entartet [d.h. ψ_1, ψ_2 Eigenzustände zum Eigenwert $E \Rightarrow \psi_1, \psi_2$ linear unabhängig]
 2) Nicht entartete Lösungen der eindimensionalen Schrödinger-Gl mit symmetrischem Potential [d.h. $V(x) = V(-x)$] sind entweder symmetrisch oder anti-symmetrisch.

* nicht singular, von unten beschränkt

c) $V(x) = V(-x)$ und sei $\psi(x)$ eine (nicht entartete!) Lösung der betreffenden Schrödinger-Gleichung.

$$-\frac{\hbar^2}{2m} \frac{d^2}{dx^2} \psi(x) + V(x) \psi(x) = E \psi(x)$$

Transformation $x \mapsto -x$

$$-\frac{\hbar^2}{2m} \frac{d^2}{dx^2} \psi(-x) + \underbrace{V(-x)}_{V(x)} \psi(-x) = E \psi(-x)$$

\rightarrow durch $\psi(-x)$ ist eine Lösung.

$$\rightarrow \psi(x) = \begin{cases} c \psi(-x) & \uparrow \\ \uparrow \sum |c|^2 = 1 & \uparrow \\ \psi \text{ nicht entartet} & \text{weitere } x \mapsto -x \\ & \text{Transformation} \end{cases} = c^2 \psi(x) \quad \rightarrow c^2 = 1 \quad c = \pm 1$$

$$\Rightarrow \psi(x) = \begin{cases} + \psi(-x) & \text{oder} \\ - \psi(-x) & \end{cases} \quad \begin{array}{l} \rightarrow \text{symmetrisch (gerade)} \\ \rightarrow \text{antisymmetrisch (ungerade)} \end{array}$$

Nicht entartete Eigenzustände symmetrischer Potentiale in einer Dimension sind entweder gerade oder ungerade.

Zusätzlich: gebundene Zustände (nicht singulär, von unten beschränkt) Potentiale in einer Dimension sind nicht-entartet.

Beweis: seien ψ_1, ψ_2 Eigenzustände zum Eigenwert E

$$\Leftrightarrow \left(-\frac{\hbar^2}{2m} \frac{d^2}{dx^2} + V(x) \right) \psi_1 = E \psi_1 \quad \psi_2$$

$$\Rightarrow \psi_1 \psi_2'' - \psi_2'' \psi_1 = 0 \quad \begin{array}{l} \text{gebundenes Zustand} \\ (+) \\ (x \rightarrow \pm\infty) \end{array}$$

$$\Rightarrow \psi_1 \psi_2' - \psi_2' \psi_1 = \text{const} = 0 \quad \text{siehe Buch Messiah}$$

$$\Leftrightarrow \frac{\psi_2'}{\psi_1} = \frac{\psi_1'}{\psi_2} \quad \begin{array}{l} \psi_1, \psi_2 \text{ linear} \\ \downarrow \\ \text{abhängig} \end{array}$$

$$\Leftrightarrow \frac{d}{dx} (\ln \psi_1 - \ln \psi_2) = 0 \quad \begin{array}{l} \text{?} \\ \ln \psi_1 = \ln \psi_2 + c \quad \Leftrightarrow \psi_1 = C \psi_2 \end{array}$$

d) $\begin{cases} \text{symmetrische Lsg: } A_{\underline{\underline{II}}} = B_{\underline{\underline{II}}} \\ A_{\underline{\underline{I}}} = B_{\underline{\underline{III}}} \\ A_{\underline{\underline{III}}} = B_{\underline{\underline{I}}} = 0 \quad (\text{gebundene Zustände, siehe oben}) \end{cases}$

$\text{anti-symmetrische Lsg: } A_{\underline{\underline{II}}} = -B_{\underline{\underline{II}}} \\ A_{\underline{\underline{I}}} = -B_{\underline{\underline{III}}} \\ A_{\underline{\underline{III}}} = -B_{\underline{\underline{I}}} = 0$

obiges "Theorem" anwendbar: wir können uns auf gerad/ungerade Lösungen beschränken \rightarrow weniger Koeffizienten, weniger Arbeit
Anschlafbedingungen (siehe Vorlesung)

$$\Psi_{\underline{\underline{II}}}(\frac{L}{2}) = \Psi_{\underline{\underline{III}}}(\frac{L}{2}) \quad (*)$$

$$\Psi'_{\underline{\underline{II}}}(\frac{L}{2}) = \Psi'_{\underline{\underline{III}}}(\frac{L}{2}) \quad (**)$$

Worum brauchen wir $\Psi_{\underline{\underline{I}}}^{(1)}(-\frac{L}{2}) = \Psi_{\underline{\underline{II}}}^{(1)}(-\frac{L}{2})$ nicht mehr explizit zu berücksichtigen? Wegen Symmetrie bereits erfüllt!
keine neue Information.

(i) Symmetrische Lösung

$$(*) \quad \underbrace{A_{\underline{\underline{II}}} e^{i\frac{2k}{\hbar}z} + A_{\underline{\underline{II}}} e^{-i\frac{2k}{\hbar}z}}_{2A_{\underline{\underline{II}}} \cos \frac{2k}{\hbar}z} = B_{\underline{\underline{III}}} e^{-\frac{2kL}{\hbar}}$$

$$(**) \quad -2A_{\underline{\underline{II}}} \hbar \sin \frac{2k}{\hbar}z = -\kappa B_{\underline{\underline{III}}} e^{-\frac{2kL}{\hbar}}$$

$$(=) \quad \underbrace{\begin{pmatrix} 2 \cos \frac{2k}{\hbar}z & -e^{-\frac{2kL}{\hbar}} \\ -2 \sin \frac{2k}{\hbar}z & +\kappa e^{-\frac{2kL}{\hbar}} \end{pmatrix}}_{\text{Lösungen falls } \det(\cdot) \neq 0} \begin{pmatrix} A_{\underline{\underline{II}}} \\ B_{\underline{\underline{III}}} \end{pmatrix} = 0$$

ohne die Symmetrieverlegung hätten wir hier eine 4×4 Matrix!

$$2 \cos\left(\frac{\kappa L}{2}\right) \kappa e^{-\kappa L/2} - 2 \kappa \sin\left(\frac{\kappa L}{2}\right) e^{-\kappa L/2} = 0$$

$$\Leftrightarrow \tan\left(\frac{\kappa L}{2}\right) \stackrel{!}{=} \frac{\kappa}{2} > 0$$

Um diese Bedingung besser zu veranschaulichen, formen wir um.

$$\text{Verwende } \kappa_0^2 \equiv \kappa^2 + \lambda^2 = 2mV_0/h^2$$

\Rightarrow ~~$\tan\left(\frac{\kappa L}{2}\right)$~~ eliminieren κ

$$\begin{aligned} \kappa^2 &= \kappa^2 + \kappa^2 \tan^2\left(\frac{\kappa L}{2}\right) \\ &= \frac{\kappa^2}{\cos^2\left(\frac{\kappa L}{2}\right)} \underbrace{\left(\cos^2\left(\frac{\kappa L}{2}\right) + \sin^2\left(\frac{\kappa L}{2}\right)\right)}_1 \end{aligned}$$

$$\Rightarrow \boxed{\kappa = \kappa_0 |\cos \frac{\kappa L}{2}|} \quad \text{mit } \tan\left(\frac{\kappa L}{2}\right) > 0 \quad \text{weil wir} \\ \text{zusätzlich} \quad \text{quadrat haben}$$

(ii) antisymmetrische Lösung:

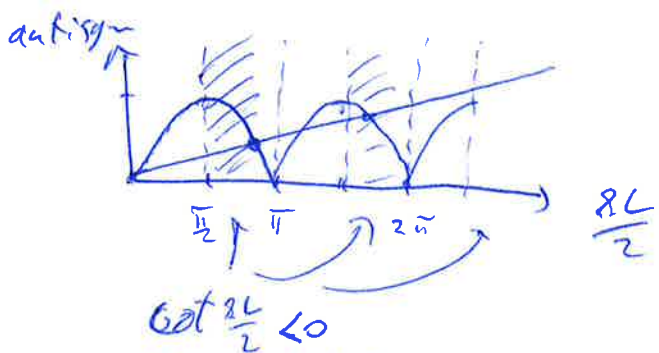
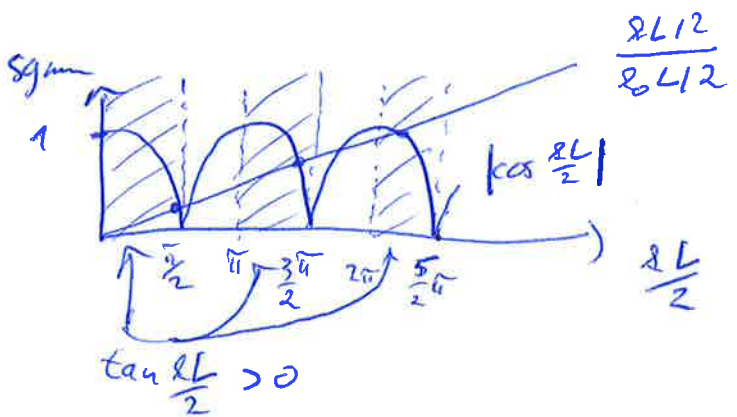
$$(*) \rightarrow 2i A_{\text{II}} \sin \frac{\kappa L}{2} = B_{\text{III}} e^{-\kappa L/2}$$

$$(**) \rightarrow 2i \lambda A_{\text{II}} \cos \frac{\kappa L}{2} = -B_{\text{III}} \kappa e^{-\kappa L/2}$$

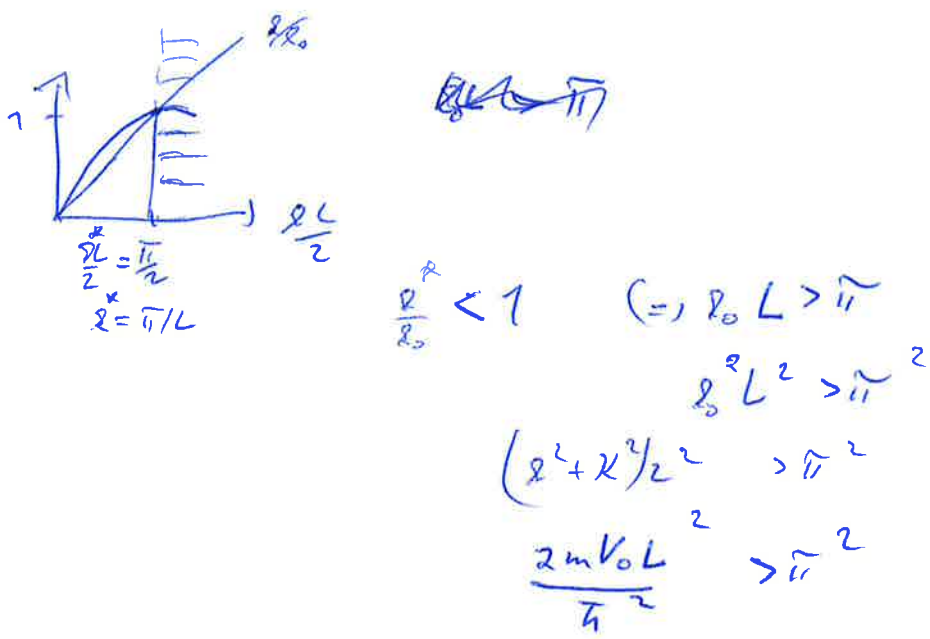
$$\Leftrightarrow \underbrace{\begin{pmatrix} 2i \sin \frac{\kappa L}{2} & -e^{-\kappa L/2} \\ 2i \lambda \cos \frac{\kappa L}{2} & +\kappa e^{-\kappa L/2} \end{pmatrix}}_{\det(\cdot) \stackrel{!}{=} 0} \begin{pmatrix} A_{\text{II}} \\ B_{\text{III}} \end{pmatrix} = 0$$

$$\Rightarrow -\cot \frac{\kappa L}{2} = \frac{\kappa}{\lambda} > 0$$

$$\Rightarrow \boxed{\kappa = \kappa_0 |\sin \frac{\kappa L}{2}|} \quad \text{mit } \cot \frac{\kappa L}{2} < 0$$



- Spektrum diskret: Eigenenergien quantisiert
- Grundzustand ist symmetrisch
gerade, ungerade
- Energien wechseln sich ab
- Kriterium für Existenz ungerader Lsg:



Minimale Tiefe des Potentials
für ungerade Lösungen.

Zusatz: Wellenfunktionen

$$\underline{B_{\text{III}}} = \text{aus *1 S. 4}$$

$$d_{\text{II}} = B_{\text{III}} \frac{e^{-j\frac{\pi}{2} \frac{xL}{\lambda}}}{2 \cos \frac{\pi L}{\lambda}} = \left[\cancel{\left(\frac{1}{2} + \frac{x^2}{\lambda^2} \right)} e^{-j\frac{\pi}{2} \frac{xL}{\lambda}} \right]$$

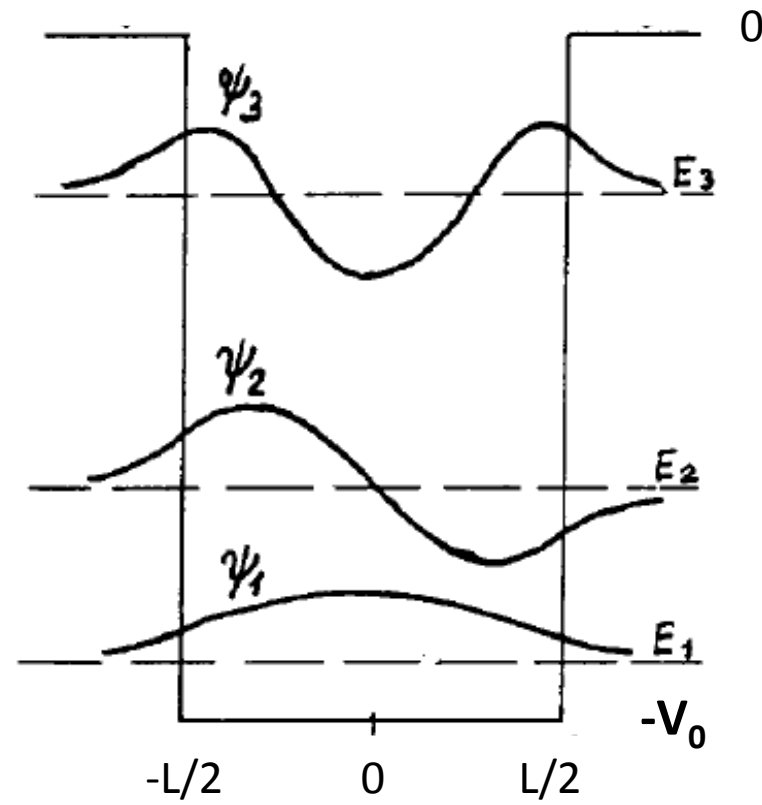
$$\psi_+(x) = B_{\text{III}} \begin{cases} e^{j\frac{\pi}{2} \frac{xL}{\lambda}} & x < -\frac{L}{2} \\ \frac{e^{-j\frac{\pi}{2} \frac{xL}{\lambda}}}{\cos \frac{\pi L}{\lambda}} \cos \left(j\frac{\pi}{2} \frac{xL}{\lambda} \right) & -\frac{L}{2} \leq x \leq \frac{L}{2} \\ e^{-j\frac{\pi}{2} \frac{xL}{\lambda}} & x > \frac{L}{2} \end{cases}$$

bestimmt aus Normierung

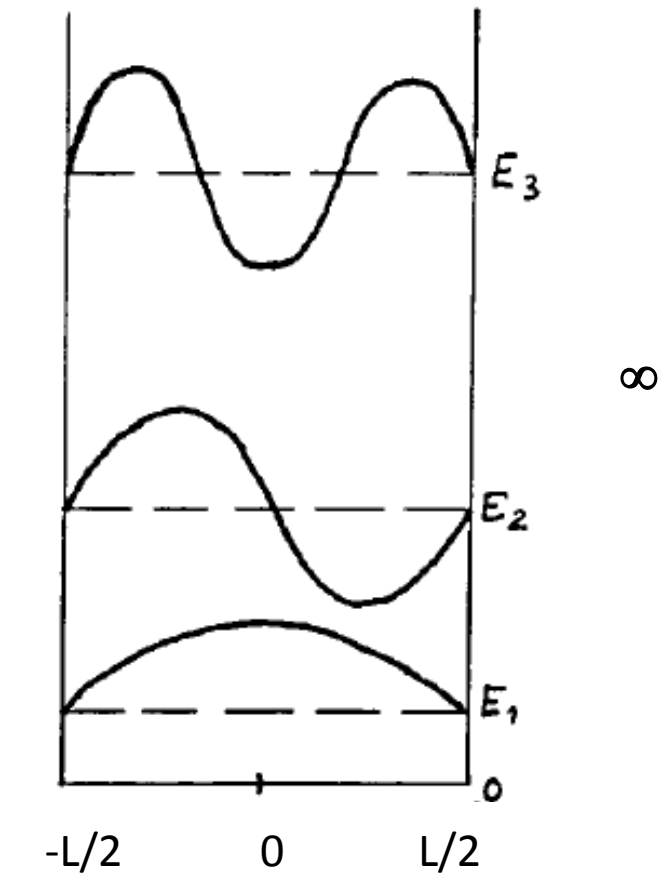
$$B_{\text{III}} = e^{+j\frac{\pi}{2} \frac{xL}{\lambda}} \left[\left(1 + \frac{x^2}{\lambda^2} \right) \left(\frac{L}{2} + \frac{1}{\lambda} \right) \right]^{-1/2}$$

$$\psi_-(x) = B_{\text{III}} \begin{cases} \sim e^{-j\frac{\pi}{2} \frac{xL}{\lambda}} & x < -\frac{L}{2} \\ -\frac{e^{-j\frac{\pi}{2} \frac{xL}{\lambda}}}{\sin \frac{\pi L}{\lambda}} \sin \left(j\frac{\pi}{2} \frac{xL}{\lambda} \right) & -\frac{L}{2} \leq x \leq \frac{L}{2} \\ \sim & x > \frac{L}{2} \end{cases}$$

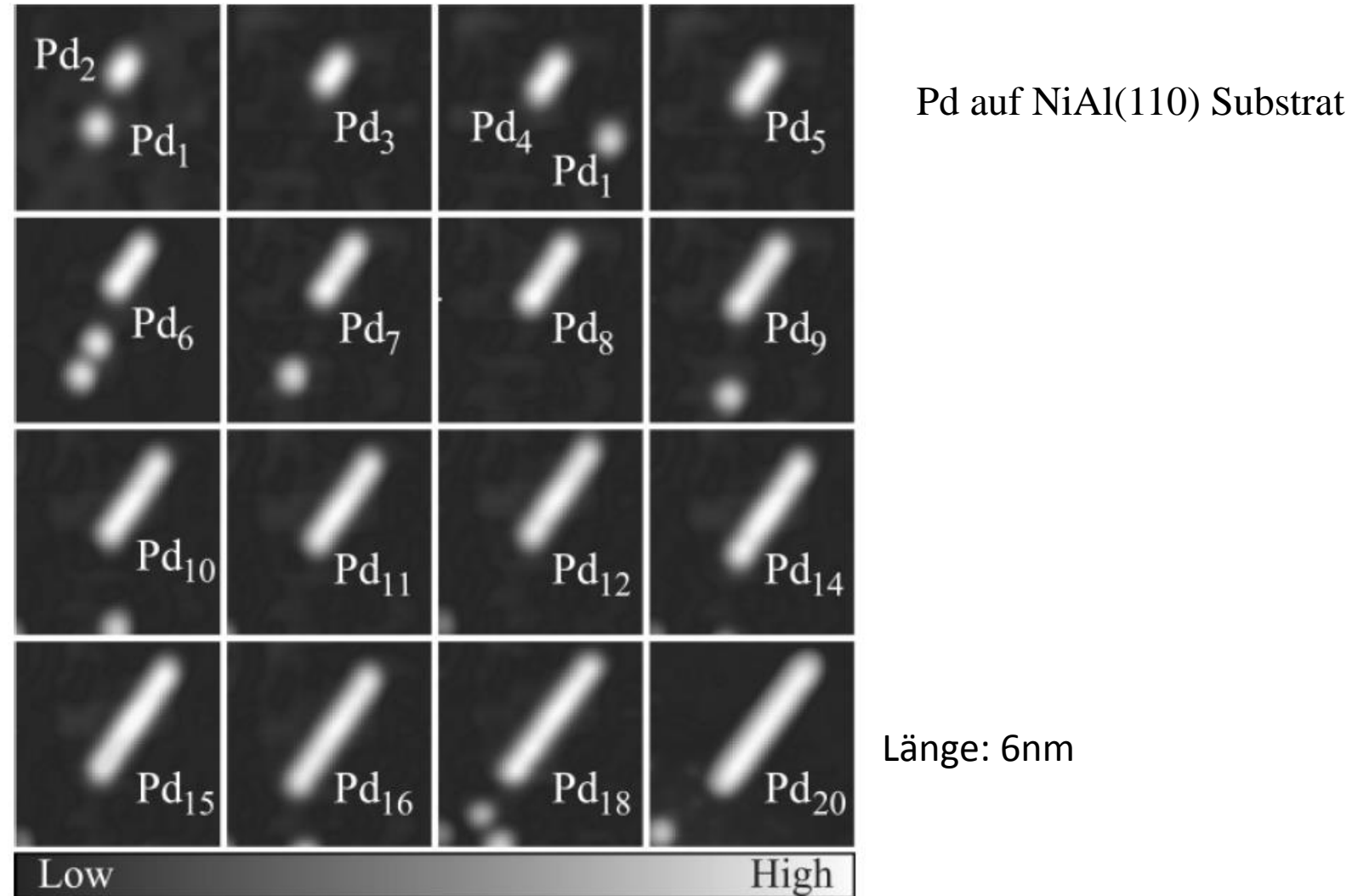
endliches Kastenpotential



unendlich tiefes Kastenpotential

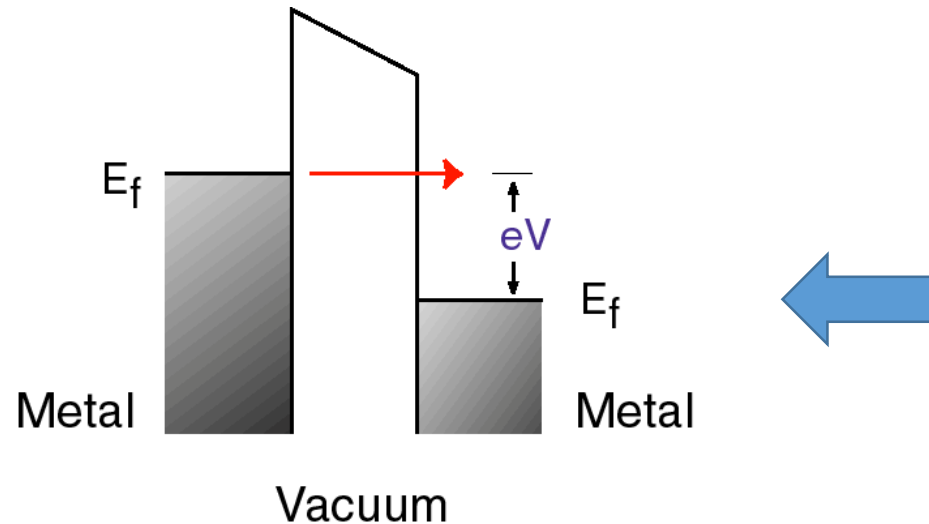
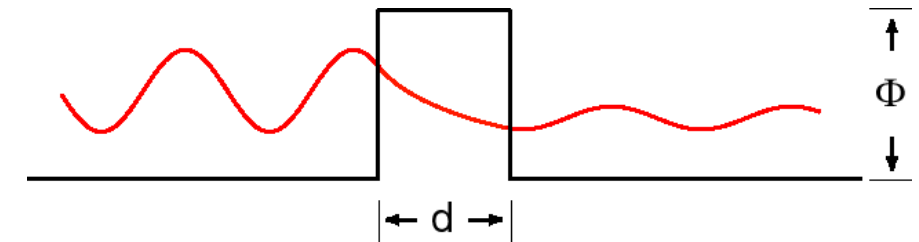
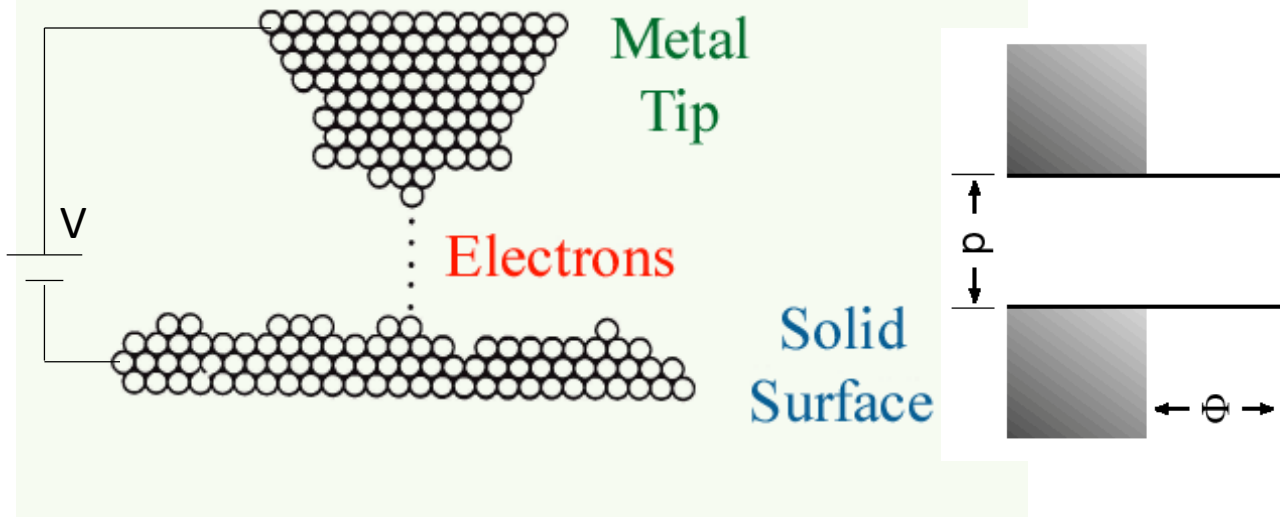


Beispiel: “Realization of a Particle-in-a-Box: Electron in an Atomic Pd Chain”



Scanning tunneling microscopy

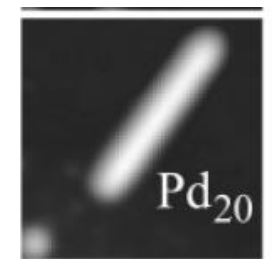
→ verwandtes Problem der endlichen Potentialbarriere



(1) Topographie Messungen ($I=\text{const}$)

(2) differentielle Leitfähigkeit → Zustandsdichte

$$dI/dV \propto |\psi(x)|^2$$



Grundspannung $V_0 \rightarrow$ Zugang zu Anregungszuständen

suggested mechanism:
 Pd: $4d^{10} 5s^0 \rightarrow 4d^9 5s^1$

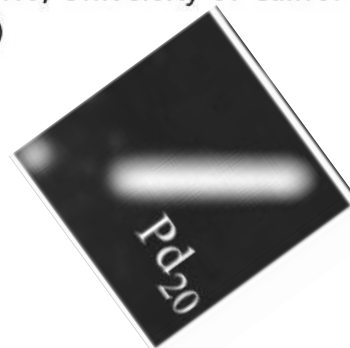
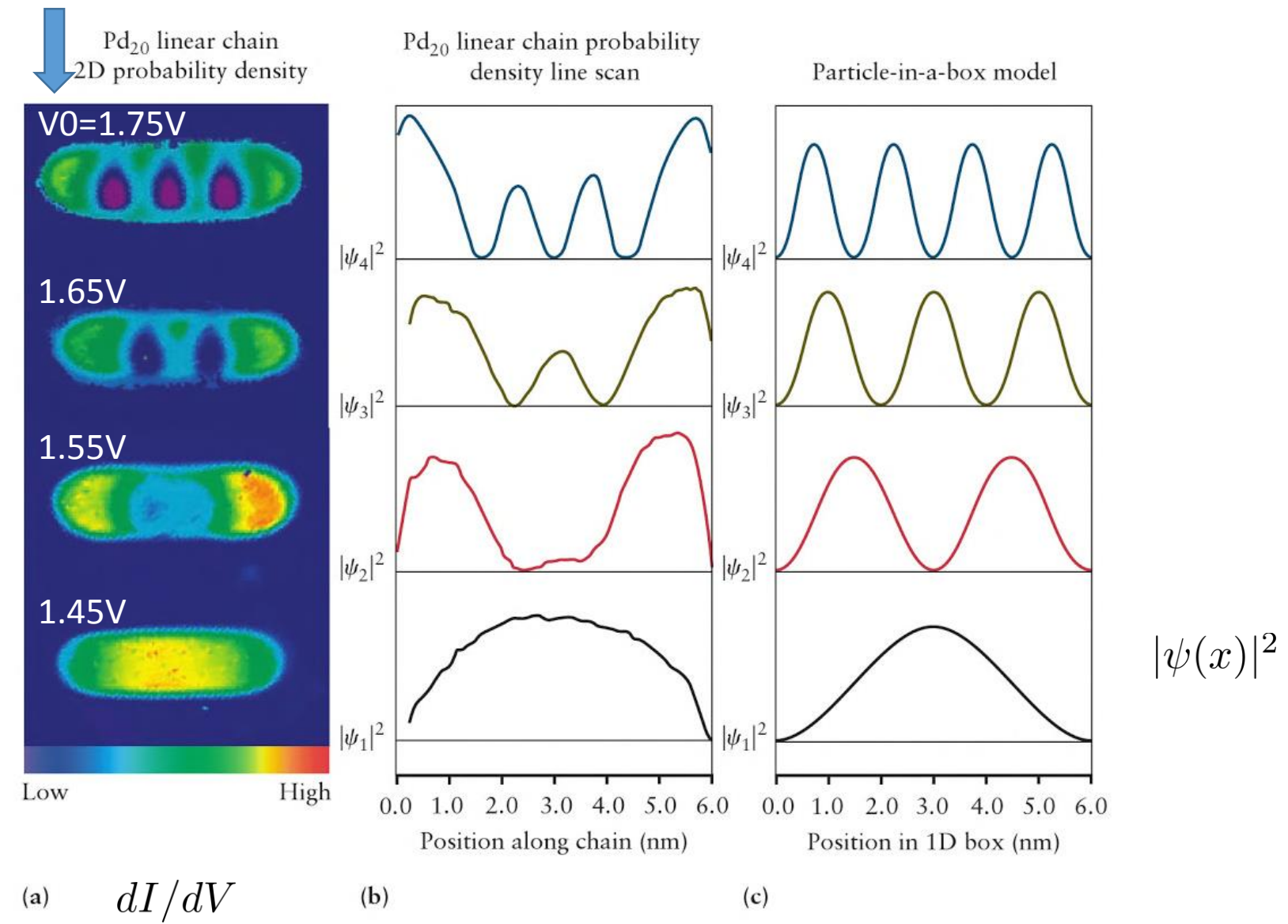


FIGURE 4.39 Quantized energy states for electrons in a linear chain of 20 atoms of Pd on the surface of a NiAl crystal. The atoms were assembled using a scanning tunneling microscope (STM). (a) These images show the two-dimensional probability distribution measured by the STM. (b) These curves are line scans across the measured probability densities, showing their variation along the chain. (c) These curves show the predictions of the one-dimensional particle-in-a-box model for this system. (Courtesy of Professor Wilson Ho, University of California, Irvine.)

Spannung V₀ → angeregte Zustände



from: Principles of Modern Chemistry, Oxoby et al